

07; 11; 12

© 1992

РЕНТГЕНОВСКАЯ ДИФРАКТОМЕТРИЯ
 ИЗМЕНЕНИЙ СТРУКТУРЫ ПРИПОВЕРХНОСТНЫХ СЛОЕВ
 ИОННО-ИМПЛАНТИРОВАННОГО КРЕМНИЯ
 ПОСЛЕ ИМПУЛЬСНОГО ЛАЗЕРНОГО ОТЖИГА

В.А. Б у ш у е в, А.П. П е т р а к о в

При изготовлении полупроводниковых материалов широко используются имплантированные монокристаллы. Для восстановления нарушенных ионной бомбардировкой слоев необходим последующий термический или, что более предпочтительно, импульсный лазерный отжиг [1], в процессе которого междуузельные атомы примеси занимают электрически активные положения в узлах решетки. В результате имплантации и импульсного облучения вблизи поверхности формируется нарушенный слой с отличным от объема параметром решетки и образуются дефекты структуры, вызывающие диффузное рассеяние рентгеновских лучей. Это приводит к возникновению дополнительных особенностей на кривых дифракционного отражения (КДО) [2]. Метод трехкристальной рентгеновской дифрактометрии (ТРД) [2] позволяет раздельно измерять когерентную и диффузную составляющие интенсивности рассеяния и исследовать структурное совершенство тонких нарушенных слоев.

Методами КДО [3-9] и ТРД [7-9] изучалось влияние импульсного облучения на структуру поверхности, однако отсутствуют работы по исследованию лазерной обработки предварительно термически отожженных имплантированных кристаллов. Данная обработка позволяет в широких пределах изменять структуру и электрофизические свойства материалов. Целью настоящей работы является рентгенодифракционное исследование структурных изменений приповерхностных слоев термически отожженных имплантированных бором монокристаллов кремния под действием миллисекундного лазерного облучения.

Поверхность (111) кристаллов кремния КДБ-10, имплантированного ионами B^+ с энергией 25 КэВ дозой $D = 6.25 \cdot 10^{15} \text{ см}^{-2}$ и затем отожженных при $T = 700^\circ\text{C}$ в атмосфере азота в течение 10 мин, облучалась рубиновым лазером ГОР-100М, работающим в режиме свободной генерации с длительностью импульса 0.5 мс. Лазерное излучение фокусировалось линзой с фокусным расстоянием 50 см. Перед образцом устанавливалась маска с отверстием 5 x 5 мм. Для получения более равномерного распределения энергии образцы помещались на расстоянии 55 см от линзы, а перед ними ставилось матовое стекло. Плотность энергии W измерялась прибором ИМО-2 и в зависимости от напряжения накачки менялась в диапазоне 1-36 Дж/см². Измерения проводились на двух- и трех-

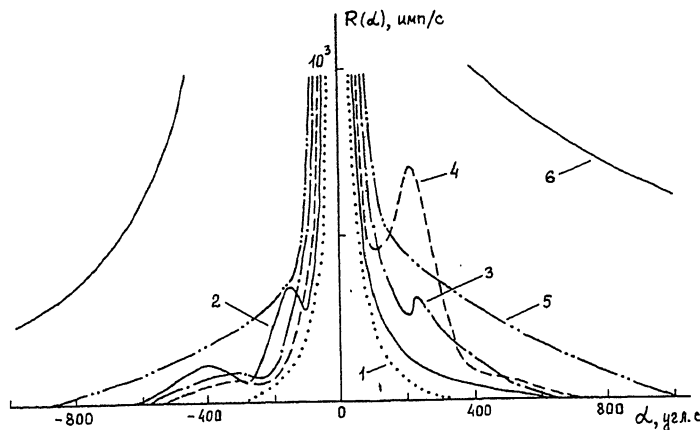


Рис. 1. Зависимость формы КДО (111) от плотности энергии лазерного облучения. 1 - КДО совершенного кристалла, 2 - имплантированного; облученного с плотностью энергии W (Дж/см²): 3 - 10, 4 - 20, 5 - 27, 6 - 36.

криスタльном дифрактометрах в симметричной бездисперсионной геометрии. В качестве монохроматора и анализатора использовались совершенные монокристаллы кремния, отражение (111), $\text{ли}K_{\alpha_1}$ - излучение. Интенсивность падающего на образец пучка составляла 10^5 имп/с.

На рис. 1 приведена зависимость формы КДО $R(\alpha)$ от плотности энергии лазерного облучения, где $\alpha = \nu^2 - \nu_B$ - угол поворота образца. После имплантации и термического отжига со стороны меньших углов α от основного пика отражения, от подложки появляются два дополнительных пика, а со стороны больших углов - незначительное уширение „хвоста” (кривая 2) по сравнению с КДО неимплантированного кристалла (кривая 1). Облучение с плотностью энергии $W = 1$ Дж/см² не влияет на структуру поверхности, так как форма КДО не меняется. С повышением W до 10 и 20 Дж/см² в области $\alpha < 0$ остается слабый размытый максимум, а с противоположной стороны появляется более интенсивный пик, величина которого увеличивается с ростом W (кривые 3, 4). При дальнейшем увеличении W , начиная с 27 Дж/см, вместо дополнительных пиков возникают протяженные асимметричные „хвосты”, причем их интенсивность со стороны больших углов выше (кривые 5, 6). Особенно интенсивные „хвосты” появляются при $W = 36$ Дж/см². Поверхность образца в этом случае покрывается сеткой микротрешин вдоль всех возможных плоскостей типа (110), что хорошо видно в электронном микроскопе МСМ-5.

На рис. 2 представлены кривые приведенной интенсивности $P(\alpha) = I_{\text{гл}} \alpha^2$ главного пика на спектрах ТРД. Для неимплантированного

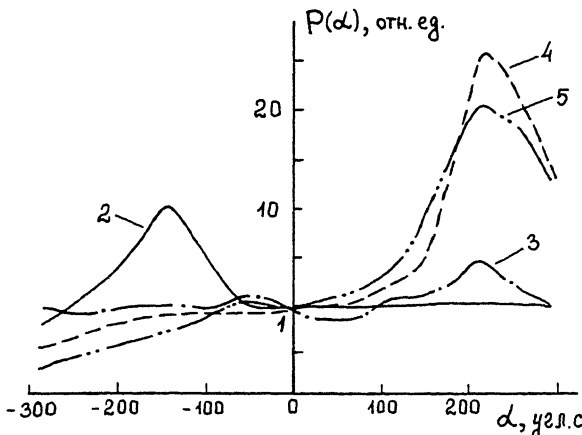


Рис. 2. Угловая зависимость приведенной интенсивности главного пика на спектрах ТРД. Значения W для кривых 2–5 те же, что и на рис. 1.

кристалла $\rho(\alpha) = 1$. Имплантация с термическим отжигом вызывает появление пика функции $\rho(\alpha)$ со стороны меньших углов (кривая 2), а лазерное облучение – с противоположной стороны (кривые 3–5). Интенсивность пика растет с повышением W до $20 \text{ Дж}/\text{см}^2$, а затем падает при $W = 27 \text{ Дж}/\text{см}^2$ (кривая 5). Зависимость $\rho(\alpha)$ при облучении с $W = 36 \text{ Дж}/\text{см}^2$ не приведена, так как поверхность настолько сильно разрушена, что главный пик не проявляется на фоне диффузного.

Из представленных экспериментальных результатов видно, что имплантация с последующим термическим отжигом формирует вблизи поверхности слой с параметром решетки, превосходящим параметр d в объеме кристалла. Это связано с тем, что при данном режиме отжига значительная часть атомов бора и выбитых ионами атомов кремния находится в междоузлиях. Средняя деформация $\varepsilon = \Delta d/d = -\alpha_0 \operatorname{ctg} \vartheta_B$, где α_0 – положение наиболее интенсивного дополнительного пика на кривой 2 рис. 1, составляет $\varepsilon \approx 2.7 \cdot 10^{-3}$. То, что данный пик отвечает когерентному рассеянию, подтверждается наличием пика на функции $\rho(\alpha)$ при том же угле α_0 (кривая 2, рис. 2). Второй дополнительный пик на кривой 2 рис. 1 имеет интерференционную природу. Эффективная толщина t имплантированного слоя определялась методом интегральных характеристик [2], по расстоянию $\lambda/2 t \cos \vartheta_B$ между дополнительными пиками и по величинам максимумов $R(\alpha_0) = (f t / \Lambda)^2$ и $\rho(\alpha_0)$, где $\Lambda = 1.48 \text{ мкм}$ глубина экстинкции, f – фактор аморфизации. Все четыре метода дают близкие значения $t \approx 0.06 \text{ мкм}$. Максимальная глубина залегания атомов бора составляет $\approx 0.5 \text{ мкм}$, о чем свидетельствует исчезновение дополнительных пиков при стравливании соответствующего слоя.

Облучение с $W \approx 10$ Дж/см² приводит к частичному лазерному отжигу. При этом знак Δd изменяется, поскольку бор, имеющий меньший, чем кремний, тетраэдрический радиус, занимает места в узлах решетки. Деформация сжатия, определенная по положению пиков на КДО и $P(\alpha)$ в области $\alpha > 0$, составляет $\varepsilon = -4 \cdot 10^{-3}$. Из анализа кривых 4 и 5 следует, что толщина слоя возрастает до $t \approx 0.1$ мкм. Деформация $\varepsilon = 1.44\beta c$, где c – средняя концентрация примеси замещения, $\beta = -5 \cdot 10^{-24}$ см³ [3, 10]. Отсюда следует, что для обеспечения измеренного значения ε необходима концентрация бора $c = 5.6 \cdot 10^{20}$ см⁻³. Сравнение с полной концентрацией $c_0 = D/t$ показывает, что в случае $W = 20$ Дж/см², при котором наблюдается минимальное диффузное рассеяние, величина $c_0 = 6.3 \cdot 10^{20}$ см⁻³, т. е. почти 95% атомов бора переходит в узлы кристаллической решетки.

Уменьшение функции $P(\alpha)$ в области $\alpha < 0$ (кривые 4, 5, рис. 2) указывает на частичную аморфизацию поверхности, причем в случае $W = 27$ Дж/см² фактор f меньше, чем при 20 Дж/см². Этим объясняется уменьшение максимума на кривой 5 по сравнению с кривой 4 на рис. 2. Слабый пик на КДО в области $\alpha < 0$ имеет в основном диффузную природу, поскольку диффузный максимум на спектрах ТРД также смещен в отрицательную сторону, а пик на зависимости $P(\alpha)$ при этих значениях α отсутствует. Диффузное рассеяние вызвано, по-видимому, образованием кластеров дефектов междуузельного типа. Повышение W до 27 Дж/см² приводит к исчезновению дополнительного пика на КДО, хотя кристаллический слой с определенным выше значением ε имеется, что подтверждается наличием пика на кривой 5 рис. 2. Отсутствие его на КДО объясняется значительным диффузным рассеянием, которое на спектрах ТРД увеличивается в 10^2 раз, а при 36 Дж/см² – в 10^3 раз.

Таким образом, впервые методами КДО и ТРД показано, что увеличение параметра решетки при имплантации кремния ионами бора и последующем термическом отжиге сменяется его уменьшением ($\Delta d < 0$) в результате миллисекундного лазерного отжига. Минимальная дефектность перекристаллизованного слоя толщиной 0.1 мкм наблюдается при плотности энергии лазерного облучения 20 Дж/см².

Авторы призывают А.А. Ломову за полезные обсуждения.

Список литературы

- [1] Двуреченский А.В., Качурин Г.А., Нидадзе Е.В., Смирнов Л.С. Импульсный отжиг полупроводниковых материалов. М.: Наука, 1982. 208 с.
- [2] Афанасьев А.М., Александров П.А., Имамов Р.М. Рентгенодифракционная диагностика субмикронных слоев. М.: Наука, 1989. 152 с.
- [3] Larson B.C., Barhorst J.F. // J. Appl. Phys. 1980. V. 51. N 6. P. 3181–3185.

- [4] Servidori M., Monta C.D., Zani Q.
 // Phys. stat. sol. (a). 1983. V. 80. N 1. P. 277-
 285.
- [5] Лабунов В.А., Кондрашкина Е.А., Половинин А.К., Прохоренко Н.Л. // Поверхность. 1989. № 4. С. 90-95.
- [6] Punegov V.I., Petrakov A.P., Tikhonov N.A. // Phys. stat. sol. (a). 1990. V. 122. N 2. P. 449-458.
- [7] Завьялова А.А., Имамов Р.М., Ковальчук М.В. и др. // Письма в ЖТФ. 1982. Т. 8. № 11. С. 653-657.
- [8] Baumseil P., Winter U., Galler R. // Crystal Res. and Technol. 1984. V. 19. N 5. P. 633-641.
- [9] Бушуев В.А., Петраков А.П. // Поверхность. 1992. № 4. С. 60-66.
- [10] Fukiue A., Takano Y. // Acta Cryst. 1977. V. A33. N 1. P. 137-142.

Московский государственный
 университет им. М.В. Ломоносова

Поступило в Редакцию
 14 марта 1992 г.